

Slezská univerzita v Opavě – Filosoficko-přírodovědecká fakulta**Fyzikální praktikum II – Elektřina a magnetismus**

Jméno:	Ročník, obor:	Vyučující:	Akademický rok:
Spolupracující :	První,		
Číslo úlohy: E9	Název úlohy: Zatěžovací charakteristika zdroje VA charakteristika žárovky		Datum měření: Datum odevzdání:

1 Pracovní úkoly:

1. Změřte zatěžovací charakteristiku baterie a síťového adaptéra. Maximální zatěžovací proud zvolte pro pokles elektromotorického napětí na polovinu. Zkratový proud a vnitřní odpory stanovte z grafu závislosti zatěžovací charakteristiky zdroje.
2. Pro solární článek změřte celý průběh zatěžovací charakteristiky a znázorněte rovněž průběh výkonu zdroje.
3. Proměřte voltampérovou charakteristiku žárovky s pomocí PC a systému ISES

2 Použité měřící přístroje a pomůcky

voltmetr; ampérmetr; plochá baterie, síťový adaptér, reostat, odpory, žárovka, solární článek, spojovací vodiče, pracovní PC stanice se systémem ISES

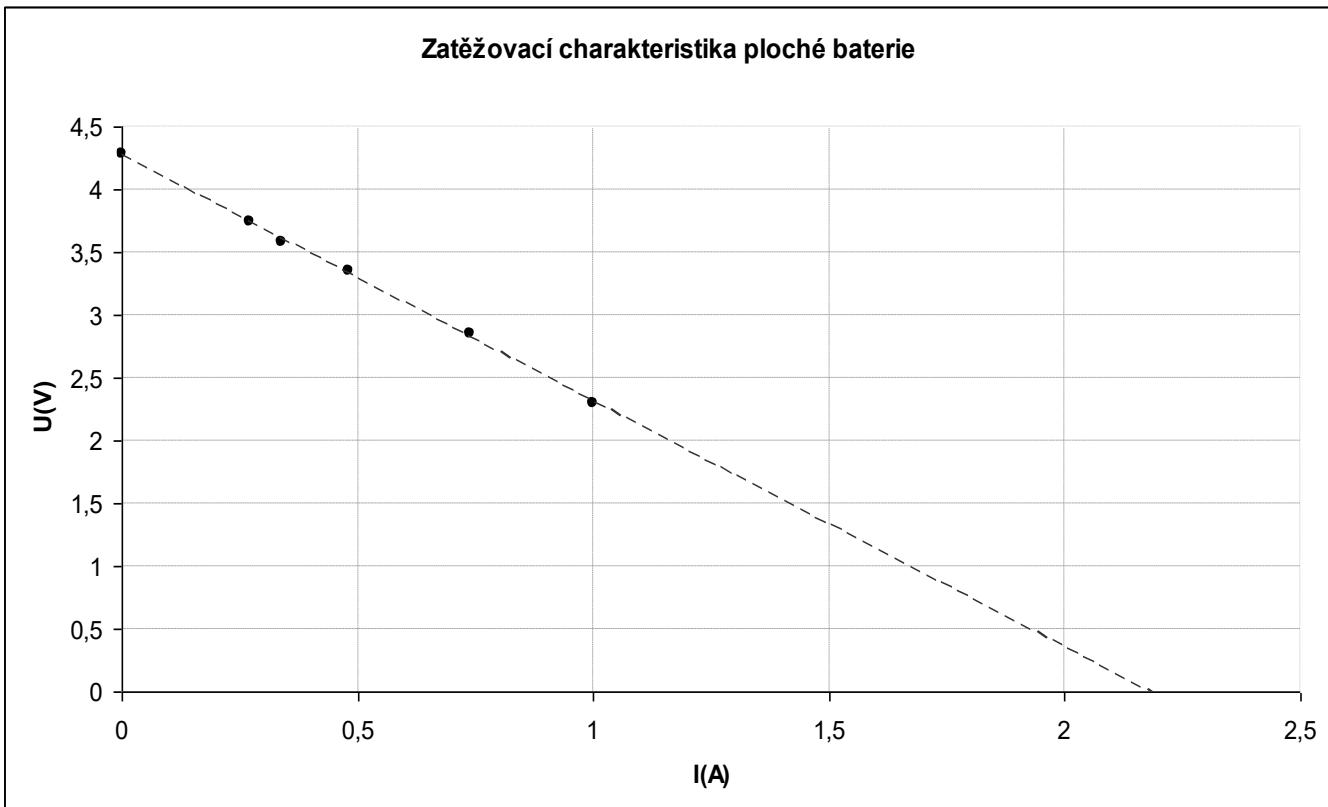
3 Naměřené a vypočtené hodnoty**3.1 Měření zatěžovací charakteristiky ploché baterie**

Naměřené hodnoty napětí a proudu jsou uvedeny v Tab 4.1

Doplňte tabulku tak, aby odpovídala lineární zatěžovací charakteristice a sestrojte vlastní graf.

Tab 4.1 Zatěžovací charakteristika ploché baterie

Číslo měření	U (V)	I (A)
1	4,28	0
2
3
4
5
6	2,3	1



Obr 4.1 – Zatěžovací charakteristika ploché baterie (ukázka)

Naměřená zatěžovací charakteristika ploché baterie je vynesena na Obr 4.1. Aby obvodem neprotékal příliš velký proud, byly hodnoty U a I měřeny pouze do poklesu U na polovinu. Zkratový proud můžeme z grafu odečíst po jeho proložení regresní přímkou. Pro $U = 0$ můžeme snadno určit zkratový proud I_k .

$$I_k = \dots A$$

Pro výpočet vnitřního odporu R_i ploché baterie využijeme vztah (3):

$$R_i = \frac{U_e}{I_k} = \dots \Omega$$

3.2 Měření zatěžovací charakteristiky síťového adaptéru

Naměřené hodnoty proudu a napětí pro měření zatěžovací charakteristiky síťového adaptéru jsou uvedeny v Tab 4.2

**Tab 4.2 Zatěžovací charakteristika
sítového adaptéru**

Číslo měření	U (V)	I (mA)
1	11,5	0
2	11,18	15,9
3	10,8	30,3
4	10,2	60,3
5	9,2	105,4
6	7,29	189,5

Zatěžovací charakteristika je vynesena na Obr 4.2, kde černé body opět značí naměřené hodnoty , které byly následně proloženy regresní přímkou pro stanovení I_k a následně R_i . V tomto případě má regresní získaná zatěžovací charakteristika tvar:

$U = a I + b$, zjistěte, jaké koeficienty a, b odpovídají lineární závislosti U na I
kde U je ve [V] a I je v [mA].

Zde vložte graf z naměřených hodnot v tabulce proložený regresní přímkou.

Obr. 4.2 – Zatěžovací charakteristika sítového adaptéru (ukázka)

Zatěžovací charakteristika je vynesena na Obr 4.2, kde černé body opět značí naměřené hodnoty , které byly následně proloženy regresní přímkou pro stanovení I_k a následně R_i . Zkratový proud a vnitřní odpor sítového adaptéru tak můžeme určit a vypočítat

Zkratový proud a vnitřní odpor sítového adaptéru tak můžeme vypočítat:

$$0 = a I_k + b$$

$$I_k = \dots \text{mA}$$

$$R_i = \frac{U_e}{I_k} = \dots$$

3.3

Měření zatěžovací charakteristiky solárního článku

Naměřené hodnoty proudu a napětí a vypočtené hodnoty výkonu jsou uvedeny v Tab 4.4

Tab 4.4 Zatěžovací charakteristika solárního článku

Číslo měření	U (V)	I (mA)	P (mW)
1	0,637	0	0
2	0,643	1,37	0,88091
3	0,625	1,56	0,975
4	0,619	1,74	dopočítat
5	0,611	2,03	...
6	0,604	2,31	...
7	0,593	2,72	...
8	0,574	3,41	...
9	0,541	4,3	...
10	0,469	6,01	...
11	0,431	6,85	...
12	0,307	8,19	2,51433
13	0,16	9	1,44

Zde vygenerujte graf z naměřených hodnot v tabulce, proložte jej křivkou 4. stupně (tj. pomocí matematického software provedete interpolaci, kde zvolíte aproksimaci závislosti typu $U=aI^4+bI^3+cI^2+d$ I + e, kde koeficienty a, b, c, d, e určete s přesností na čtyři desetinná místa). Sestrojte tečny grafu v bodech, kde graf protíná osy U, I. Směrnice těchto tečen určují odpor solárního článku při zapojení naprázdno (R_{so}) a nakrátko (R_{sh}).

Obr 4.5 – Zatěžovací charakteristika měřeného solárního článku (ukázka)

Hodnoty odporů R_{so} a R_{sh} nám udávají směrnice tečen v bodech U_o a I_k, naznačených v Obr 4.5.

Na Obr 4.6 je zobrazena výkonová charakteristika solárního článku, získaná z hodnot v Tab 4.4). Pro určení maximálního výkonu zde ale nemůžeme použít vztah (6) který počítá s jednoduchým modelem sériového vnitřního odporu R_i, v případě solárního článku je situace složitější.

Zde vložte graf závislosti výkonu P (v miliwattech) na naměřeném proudu I(mA), viz tab. 4.4.

Obr. 4.6 – Výkonová charakteristika solárního článku (ukázka)

Maximum výkonu dodávaného zdrojem můžeme odečíst z grafu výkonu. Maximální výkon solárního článku je tedy P_{MAX}= mW při dodávaném proudu I = mA.

4 Závěr:

V první části této úlohy jsem měl za úkol proměřit zatěžovací charakteristiky různých zdrojů. Z těchto měření vyplynulo, že vnitřní odpor ploché baterie činí $R_i = \dots \Omega$, síťového adaptéra $R_i = \Omega$. Z těchto hodnot je patrné, že tvrdším zdrojem je plochá baterie, jejíž napětí při zvyšování odebíraného proudu klesá méně.

Při měření na fotovoltaickém článku jsem proměřil celkovou zatěžovací charakteristiku. Maximální dodávaný výkon tohoto článku je $P = \text{mW}$ při proudu $I = \text{mA}$.